【循证研究】

黄芪注射液辅助放化疗对癌症患者疗效和不良反应的系统评价

王继达1, 王 丽2, 刘海朝1, 孟令康3, 边育红1*, 贾贝田1*

- 1. 天津中医药大学, 天津 301617
- 2. 天津市第二人民医院, 天津 300192
- 3. 南京中医药大学附属南京中医院, 江苏 南京 210023

摘 要:目的系统评价黄芪注射液联合放化疗对癌症患者疗效和免疫功能的影响,为临床使用提供循证医学的相关参考。方法 计算机检索中国期刊全文数据库(CNKI)、万方数据库(Wanfang Deta)、中国生物医学文献数据库(CBM)、维普生物医学数据库(VIP)、PubMed、Cochrane 图书馆等数据库中有关黄芪注射液联合放化疗治疗癌症的随机对照临床试验(RCT),检索时间为各数据库建库起至2021年11月1日。使用Cochrane工具评价文献质量,用RevMan 5.3 软件进行Meta分析。结果 共纳入16项RCTs,1340例患者。Meta分析结果显示:黄芪注射液在辅助癌症的放化疗治疗中能显著提高治疗有效率 [RR=1.96,95%CI(1.53,2.50)],提高患者 CD_3^+ [MD=7.47,95%CI(5.05,9.90)]、 CD_4^+ [MD=4.96,95%CI(3.84,6.09)]、 CD_8^+ [MD=7.47,95%CI(5.05,9.90)] 水平、 CD_4^+ /CD $_8^+$ 的值 [MD=0.29,95%CI(0.20,0.14)],有效改善患者生存质量 [RR=11.48,95%CI=(10.44,12.51)],改善放化疗引起的口干、黏膜损伤、皮炎损伤等不良反应发生率,与对照组比较差异均具有显著意义(P<0.000 01)。结论 黄芪注射液协同放化疗治疗癌症可以提高治疗有效率、改善患者生活质量、促进患者免疫功能、降低不良反应,鉴于研究局限性,尚需更多高质量、大样本RCTs进一步验证。

关键词: 黄芪注射液; 癌症; 肿瘤; 有效性; 免疫功能; Meta分析

中图分类号: R979.1 文献标志码: A 文章编号: 1674-6376(2022)06-1147-11

DOI: 10.7501/j.issn.1674-6376.2022.06.019

Meta-analysis of effects of Astragalus Injection combined with chemoradiotherapy on efficacy and immune function of cancer patients

WANG Jida¹, WANG Li², LIU Haizhao¹, MENG Lingkang³, BIAN Yuhong¹, JIA Beitian¹

- 1. Tianjin University of Chinese Medicine, Tianjin 301617, China
- 2. Tianjin Second People's Hospital, Tianjin 300192, China
- 3. Nanjing Hospital of Traditional Chinese Medicine, Nanjing University of Chinese Medicine, Nanjing 210023, China

Abstract: Objective To systematically evaluate the effects of Astragalus Injection combined with radiotherapy and chemotherapy on the efficacy and immune function of cancer patients, and to provide evidence-based medicine reference for clinical use. **Methods** Data were electronically searched from CNKI, Wanfang Deta, CBM, VIP, PubMed, Cochrane Library to collet randomized controlled trails (RCTs) on Astragalus Injection combined with radiotherapy and chemotherapy in the treatment of cancer from the establishment of each database to November 1, 2021. Cochrane tools were used to evaluate the literature quality and RevMan 5.3 software was used for Meta-analysis. **Results** A total of 16 RCTs involving 1 340 patients were included. Meta-analysis showed that the use of Astragalus Injection in adjuvant chemoradiotherapy for cancer significantly increased the effective rate [RR = 1.96, 95%CI (1.53, 2.50)], and increased CD_3^+ [MD = 7.47, 95%CI (5.05, 9.90)], CD_4^+ [MD = 4.96, 95%CI (3.84, 6.09)], CD_8^+ [MD = 7.47, 95%CI (5.05, 9.90)], CD_4^+ [MD = 4.96, 95%CI (3.84, 6.09)], CD_8^+ [MD = 7.47, 95%CI (5.05, 9.90)], CD_8^+ [MD = 4.96, 95%CI (3.84, 6.09)], CD_8^+ [MD = 7.47, 95%CI (5.05, 9.90)], CD_8^+ [MD = 4.96, 95%CI (3.84, 6.09)], CD_8^+ [MD = 7.47, 95%CI (5.05, 9.90)], CD_8^+ [MD = 4.96, 95%CI (3.84, 6.09)], CD_8^+ [MD = 7.47, 95%CI (5.05, 9.90)], CD_8^+ [MD = 7.47, 95%CI

基金项目: 国家自然科学基金青年基金资助项目(81703921);天津市医学重点建设学科资助项目(津卫科教[2021]492号);天津中医药大学中西医结合学院2019年度研究生创新基金(ZXYCXLX201911)

收稿日期: 2021-12-23

第一作者:王继达(1995—),男,在读硕士研究生,主要研究方向免疫学、肿瘤学、中药药理学。E-mail:929566066@qq.com

^{*}共同通信作者: 边育红,女,教授,博士生导师,主要研究方向为免疫学、肿瘤学。E-mail:bianyuhong_2012@163.com 贾贝田,女,博士,实验员,主要研究方向为免疫学、肿瘤学。E-mail:605442562@qq.com

95%CI (5.05, 9.90)], $CD4^+/CD8^+$ [MD = 0.29, 95%CI (0.20, 0.14)], can effectively improve the quality of life [RR = 11.48, 95%CI (10.44, 12.51)], and has significant significance compared with the control group (P < 0.000 01). It can improve the incidence of dry mouth, mucous membrane injury, dermatitis injury and other toxic and side effects caused by radiotherapy and chemotherapy, and has significance compared with the control group (P < 0.000 01). **Conclusion** Astragalus Injection combined with radiotherapy and chemotherapy in the treatment of cancer can improve the effective rate of treatment, improve the quality of life of patients, promote the immune function of patients, and reduce adverse reactions. In view of the limitations of the study, more high-quality, large-sample RCTs are needed for further verification.

Key words: Astragalus Injection; cancer; tumor; effectiveness; immune function; Meta-analysis

据世界卫生组织国际癌症研究机构(IARC)报道,2020年全球新发癌症1929万例,癌症已经跃居成为第3位主要威胁人类生命健康的危险因素[1]。目前,癌症的主要治疗手段仍以手术、化疗药(烷化剂^[2]、抗代谢药^[3]、抗肿瘤抗生素^[4]、抗肿瘤激素类等等药物^[5])或是物理放疗^[6](α、β、γ射线和各类X射线)为主,虽有一定的疗效,但存在诸多不良反应(如骨髓抑制、免疫功能减弱、造血功能降低、脱发、皮肤黏膜损伤等)^[7],严重减弱药物的临床治疗效果、降低肿瘤患者的生存质量。

中医强调从整体观念治疗癌症,主张用"扶正" 与"祛邪"理念调节人体免疫力和促进肿瘤细胞的 衰亡,用来弥补西医治疗癌症的不足[8]。现代药理 研究证明中药黄芪[9]、白花蛇舌草[10]、半枝莲[11]等均 具有抗肿瘤效果,可以改善患者体质、提高免疫功 能、减轻化疗的不良反应。黄芪注射液是中国19世 纪开发的中药注射液之一,具有扶正固本、补肺益 气等功效[12]。动物实验、临床试验、急性毒性试验、 长期毒性试验表明黄芪注射液具有疗效确切、毒性 低等优势,是有价值继续深入研究的中药抗肿瘤制 剂[13]。近年来有许多文献报道黄芪注射液在配合 手术、放化疗治疗恶性肿瘤可以显著提高患者的治 疗有效率、改善患者的生存质量、增强免疫功能、减 轻放化疗所引起的不良反应,但目前尚未发表其对 免疫功能影响和安全性的系统评价方面的文献。 因此,本研究采用 Meta 分析的研究方法,系统评价 黄芪注射液联合放化疗治疗癌症的疗效及对免疫 功能的影响,为临床合理用药提供循证依据。

1 材料和方法

1.1 文献纳入标准

- **1.1.1** 研究类型 研究对象为癌症患者的临床随机对照临床试验(randomized controlled trial,RCT),语种限定为中文或英文。
- 1.1.2 研究对象 病理学或者是细胞学检查确诊 为癌症患者,年龄、性别、种族以及癌种不限,或符 合国际恶性肿瘤分期诊断标准的患者。

- **1.1.3** 干预措施 对照组采用常规放化疗或者化疗药物+安慰剂治疗,试验组在对照组的基础上使用黄芪注射液治疗。
- 1.1.4 结局指标 ①有效率:根据世界卫生组织(WHO)实体瘤疗效评定疗效标准,有效率=(完全缓解例数+部分缓解例数)/总例数。②生存质量:采用卡氏(Karnofsky,KSP)评分:评估两组患者生存质量,治疗后KSP评分较治疗前增加 \geq 10分为好转、治疗后KSP评分较治疗前增加或降低<10分为稳定、治疗后KSP评分较治疗前降低 \geq 10分为恶化。③免疫系统指标:包括免疫细胞 CD_3^+ 、 CD_4^+ 、 CD_8^+ 、 CD_4^+ / CD_8^+ 。④不良反应:包括白细胞减少、口干、皮肤炎症、黏膜损伤等。

1.2 文献排除标准

(1)非 RCT 文献;(2)动物实验或者综述研究;(3)试验设计存在明显错误;(4)重复发表或者是难以提取有效数据的文献;(5)治疗组除黄芪注射液外还使用其他中药制剂进行治疗。

1.3 检索策略

计算机检索中文数据库包括中国期刊全文数据库(CNKI)、万方数据库(Wanfang Deta)、中国生物医学文献数据库(CBM)、维普生物医学数据库(VIP),外文数据库PubMed、Cochrane 图书馆等数据库中有关黄芪注射液联合放化疗治疗癌症的RCT,检索时间为各数据库建库起至2021年11月1日。中文检索词为黄芪注射液、肿瘤、癌症、化疗、放疗、随机对照临床试验,英文检索词为Astragalus Injection、 tumor、 cancer、 chemotherapy、radiotherapy、randomized controlled trial(RCT)。

1.4 资料提取与文献质量评价

由两位研究者根据纳入、排除标准分别进行文献的检索与筛选,并以自制表格提取相关资料,接下来对提取的资料进行交叉核对,当出现分歧时通过讨论或者是第3方评判的方法解决。文献质量评价按照 Cochrane 推荐的偏移分析评估方法[14]进行评价,分别从随机分配方法、随机分配方案的隐藏

方法、盲法、结局指标的评价、结果数据的完整性等方面评价纳入文献的质量。

1.5 统计学方法

采用 RevMan 5.3 统计软件进行 Meta 分析。计数 资 料 以 相 对 危 险 度 (RR) 及 其 95% 置 信 区 间 (95% CI) 为统计效应量,计量资料以均数差 (MD) 及其 95% CI 为统计效应量。考察纳入研究的异质性,如果 P > 0.10、 $P \le 50\%$,表明异质性不显著,采用固定效应模型进行 Meta 分析;如果 $P \le 0.10$ 、P > 50%,表明异质性显著,则采用随机效应模型进行分析。

2 结果

2.1 文献检索结果

通过计算机检索,从CNKI检索到文献755篇、万方数据库检索到902篇、CBM检索到544篇、VIP检索到510篇;从外文数据库中未检索到文献。共检索到2711篇中文文献,经过Note Express查重剔除重复文献1427篇,仔细阅读摘要后剔除非RCTs文献1375篇,仔细阅读全文后剔除文献36篇(其中重复发表7篇、非RCT6篇和数据不全23篇),最终纳入16篇中文RCTs^[15-30]进行Meta分析。

2.2 纳入文献的基本特征

所纳入的16项研究[15-30]均为国内研究,共纳入16篇 RCTs,共计1340例患者,其中对照组664例、试验组676例。纳入的癌症类型为非小细胞肺癌、结直肠癌、甲状腺癌、乳腺癌、卵巢癌、宫颈癌、子宫内膜癌、胃癌、鼻咽癌,对照组治疗癌症的化疗药为吉非替尼、多西他赛、顺铂、昂丹司琼、紫杉醇、雷替曲塞、奥沙利铂、丝裂霉素、长春地辛、长春瑞滨、盖诺、足叶乙苷、环磷酰胺、盐酸表柔比星、卡培他滨等药物,治疗方式为口服给药或者静脉滴注,试验组在对照组的基础上iv黄芪注射液进行治疗。纳入文献基本特征见表1。

2.3 纳入文献的质量评价

使用 Cochrane 系统评价工具评价文献质量,主要内容包括:随机分组的方法、是否提及分配隐藏,实施的盲法(包括研究者和受试者施盲)、结局数据是否完整、报告偏倚及其他偏倚。按此将文献质量分为高偏倚风险、低偏倚风险和不清楚偏倚风险。准确描述随机分组的分组方法、清楚说明盲法实施方案、纳入数据完整的文献均评为低偏倚分险文献。未描述随机分组、未采用分配隐藏、未明确采用盲法、数据不完整准确的文献均为高风险文献。上述评价内容提及但是不清楚方法的文献均为不清楚偏倚风险。

结果显示,纳入的16项研究[15-30]均为随机对照实验,其中有4项研究[16-17-24-29]使用随机数字表法,其余所有研究仅提及"随机"字样,未写明其随机方法;所有研究均未提及分配隐藏;所有研究结局数据完整;纳入文献方法学质量评价结果见图1、2。

2.4 Meta 分析结果

- **2.4.1** 有效率 共有 15 项研究 [15-29] 报道了黄芪注射液联合放化疗治疗肿瘤的有效率,共 1 273 例患者,各研究异质性低(P=0.54、P=0),因此使用固定效应模型进行 Meta 分析,见图 3。结果显示试验组的有效率高于对照组,差异有统计学意义 [OR=1.96,95% CI(1.53,2.50),P<0.000 01]。
- **2.4.2** 生存质量 共有 4 项研究 $^{[15,17,19,22]}$ 报道了黄芪注射液联合化疗治疗肿瘤的患者生存质量,共346 例患者,各研究异质性低 (P=0.38, P=1%),因此使用固定效应模型进行 Meta 分析,见图 4。结果显示试验组的生存质量高于对照组,差异有统计学意义 [RR=11.48,95%CI(10.44,12.51),P<0.00001]。
- 2.4.3 免疫功能指标 纳入研究考察了 CD₃⁺、CD₄⁺、CD₈⁺、CD₄⁺/CD₈⁺表达变化。本系统评价虽然 发现黄芪注射液在联合化疗治疗癌症可以显著改善患者的免疫细胞数量,但是异质性较高,由于目前报道的临床研究中只是在试验的开始和结束检测免疫细胞的数量变化,也与纳入的研究较少及样本量少相关,因此无法按照疗程进行亚组分析,因此未能分析造成异质性高的原因,在之后的临床研究中建议按照疗程检测免疫细胞数量变化。
- (1) CD_3^+ 表达变化:共有8项研究^[15-18, 24-26, 30]报 道了黄芪注射液辅助联合化疗治疗肿瘤患者后的 CD_3^+ 表达变化,共663例患者,各研究的异质性较高(P<0.00001、P=88%),因此使用随机效应模型进行Meta分析,见图5。结果显示试验组的 CD_3^+ 表达变化高于对照组,差异有统计学意义[MD=7.47,95%CI(5.05,9.90),P<0.00001]。
- (2)CD₄⁺表达变化:共有11项研究^[15-18, 23-26, 28-30]报道了黄芪注射液联合放化疗治疗肿瘤患者后的CD₄⁺表达变化,共954例患者,各研究的异质性较高(P<0.000 01、P=84%),因此使用随机效应模型进行Meta分析,见图6。结果显示试验组的CD₄⁺表达高于对照组,差异有统计学意义[MD=4.96,95%CI(3.84,6.09),P<0.000 01]。
- (3)CD₈⁺表达变化:共有8项研究^[15-17, 23, 25-26, 28, 30]报道了黄芪注射液联合放化疗治疗肿瘤患者后的

表1 纳入文献基本特征

Table 1 Basic characteristics of included studies

纳入研究	组别	n/例	干预措施	疗程/d	结局指标
	:11.7/1	男 女	1 1火3日 /0世	71 作主/ 0	#17P13日70
刘东莉[15]	对照	31 9	吉非替尼 250 mg	21	1234
2018	试验	32 8	对照组+黄芪注射液250 mg		
王荣华[16]	对照	21 16	多西他赛75 mg+顺铂75 mg+昂丹司琼8 mg	15	13
2018	试验	23 15	对照组+黄芪注射液 40 mL		
李建娣[17]	对照	33	紫杉醇 150 mg+顺铂 20 mg	21	123
2019	试验	33	对照组+黄芪注射液20 mL		
娄鹏举[18]	对照	21 20	雷替曲塞3 mg+奥沙利铂130 mg	21	13
2018	试验	20 19	对照组+黄芪注射液60 mL		
郝珊瑚[19]	对照	18 42	¹³¹ I核素 250 mCi	14	124
2020	试验	19 41	对照组+黄芪注射液40 mL		
朱保江[20]	对照	30	丝裂霉素6~8 mg+长春地辛3 mg+顺铂50 mg	20	14
2020	试验	30	对照组+黄芪注射液60 mL		
李福春[21]	对照	16 8	顺铂20 mg+长春瑞滨40mg	20	12
2007	试验	21 7	对照组+黄芪注射液60 mL		
钟芳红[22]	对照	29 11	顺铂20 mg+盖诺40 mg	21	124
2011	试验	28 12	对照组+黄芪注射液60 mL		
曾汝园[23]	对照	38 33	紫杉醇135~175 mg+顺铂50~55 mg	21	134
2021	试验	41 29	对照组+黄芪注射液20 mL		
朱海峰[24]	对照	46	紫杉醇 125 mg	21	134
2021	试验	44	对照组+黄芪注射液10 mL		
刘德志[25]	对照	28 15	足叶乙苷100 mg+顺铂20 mg	60	134
2017	试验	26 18	对照组+黄芪注射液20 mL		
高 歌[26]	对照	62	盐酸表柔比星5 mL+顺铂50 mg+环磷酰胺800 mg	28	134
2018	试验	62	对照组+黄芪注射液20 mL		
林玉宗[27]	对照	23 17	6MVX射线DT 50 Gy	20	134
2018	试验	22 18	对照组+黄芪注射液250 mg		
秦 勤[28]	对照	18 11	6MVX射线DT 50~70 Gy	30	134
2021	试验	17 12	对照组+黄芪注射液250 mg		
吴仁瑞[29]	对照	23 20	6MVX射线DT 50~70 Gy	30	134
2019	试验	25 18	对照组+黄芪注射液250 mg		
曾 伟[30]	对照	21 14	奥沙利铂130 mg+卡培他滨1000 mg	10	34
2016	试验	19 13	对照组+黄芪注射液 2 mL 足三里穴位注射		

①有效率;②生活质量评分稳定率;③免疫系统指标 $(CD_3^+,CD_4^+,CD_8^+,CD_4^+,CD_8^+)$;④不良反应指标(白细胞减少、口干、皮炎损伤、黏膜损伤等)

① efficient; ② stability rate of quality of life score; ③ immune system indexes $(CD_3^+, CD_4^+, CD_8^+, CD_4^+, CD_8^+)$; ④ adverse reaction indicators (leukopenia, dry mouth, dermatitis injury, mucosal injury, etc.)

 CD_8 ⁺表达变化,共721 例患者,各研究异质性较高(P<0.000 01、P=90%),因此使用随机效应模型进行Meta分析,见图7。结果显示试验组的 CD_8 ⁺表达高于对照组,差异有统计学意义[MD=7.74,95%CI(5.05,9.90),P<0.000 01]。

(4) CD_4^+/CD_8^+ 表 达 变 化: 共 有 10 项 研 究 [15-17, 23, 25-26, 28-30] 报道了黄芪注射液联合放化疗治

疗肿瘤患者后的 CD_4^+/CD_8^+ 表达变化,共 896 例患者,各研究异质性较高(P=0.38、P=91%),因此使用随机效应模型进行 Meta 分析,见图 8。结果显示试验组的生存质量高于对照组,差异有统计学意义 [MD=0.29,95%CI(0.20,0.38),P<0.00001]。

2.4.4 不良反应 共有3项研究^[27-29]报道了黄芪注射液联合放化疗治疗肿瘤产生口干、皮炎损伤、黏

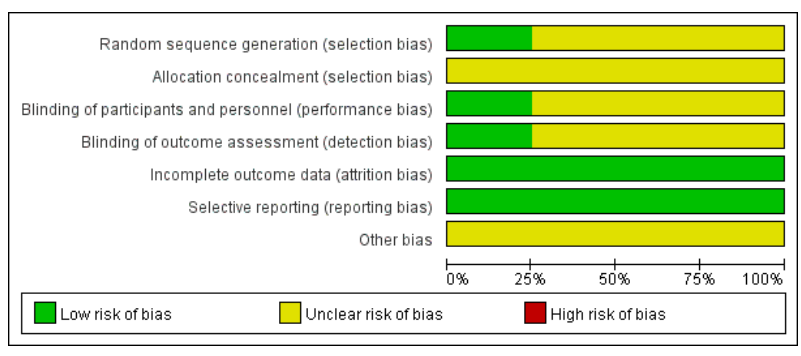


图 1 纳入研究的偏倚风险评估结果

Fig. 1 Risk of bias graph of included studies

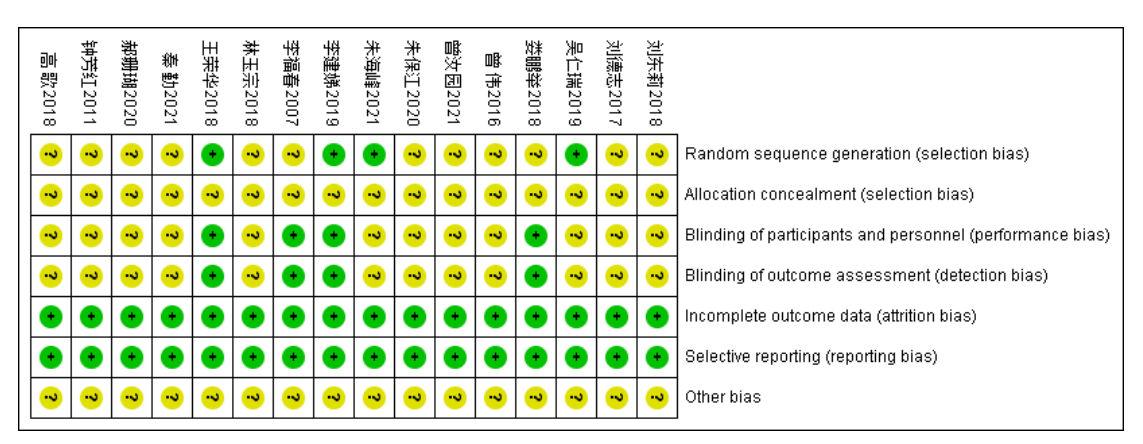


图 2 纳入研究的偏倚风险汇总

Fig. 2 Risk of bias summary of included studies

	Experim		Contr			Odds Ratio	Odds Ratio
Study or Subgroup	Events	Total	Events	Total	Weight	M-H, Random, 95% Cl	M-H, Random, 95% CI
刘东莉2018	20	40	18	40	7.9%	1.22 [0.51, 2.94]	
刘德志2017	18	44	13	43	7.8%	1.60 [0.66, 3.87]	 •
吴仁瑞2019	36	43	27	43	5.9%	3.05 [1.10, 8.44]	
娄鵬举2018	20	41	16	39	7.8%	1.37 [0.57, 3.32]	
曾汝园2021	41	71	28	70	13.6%	2.05 [1.05, 4.01]	-
朱保江2020	21	30	12	30	5.4%	3.50 [1.20, 10.20]	_
朱海峰2021	40	46	28	44	5.5%	3.81 [1.33, 10.94]	
李建娣2019	25	33	20	33	5.5%	2.03 [0.70, 5.86]	 •
李福春2007	20	28	10	24	4.6%	3.50 [1.10, 11.09]	
林玉宗2018	33	40	32	40	4.8%	1.18 [0.38, 3.63]	
王荣华2018	27	38	27	38	6.2%	1.00 [0.37, 2.70]	
秦勤2021	25	29	17	29	3.7%	4.41 [1.22, 16.00]	
郝珊瑚2020	54	60	46	60	5.7%	2.74 [0.97, 7.70]	
钟芳红2011	9	40	3	40	3.2%	3.58 [0.89, 14.39]	-
高歌2018	32	62	28	62	12.3%	1.30 [0.64, 2.62]	 -
Total (95% CI)		645		635	100.0%	1.96 [1.53, 2.50]	•
Total events	421		325				
Heterogeneity: Tau ² :	0.00; Chi ²	= 12.84	4, df = 14	(P = 0.5)	$54); I^2 = 0$	%	
Test for overall effect	Z = 5.31 (f)	- < ∩ ∩∩	001)				0.01 0.1 1 10 10 Favours [control] Favours [experimental]

图 3 两组有效率的 Meta 分析森林图

Fig. 3 Forest plot of Meta-analysis in effective rate between two groups

	Ехр	eriment	al	(Control			Mean Difference	Mean Difference
Study or Subgroup	Mean	SD	Total	Mean	SD	Total	Weight	IV, Random, 95% CI	IV, Random, 95% CI
刘东莉2018	85.12	3.16	40	74.61	3.68	40	45.5%	10.51 [9.01, 12.01]	-
李建娣2019	76.96	24.74	33	65.54	13.26	33	1.2%	11.42 [1.84, 21.00]	
郝珊瑚2020	95.78	3.12	30	83.43	2.46	30	50.6%	12.35 [10.93, 13.77]	-
钟芳红2011	79.08	13.12	40	67.73	15.33	40	2.7%	11.35 [5.10, 17.60]	
Total (95% CI)			143			143	100.0%	11.48 [10.44, 12.51]	•
Heterogeneity: Tau²: Test for overall effect			-10 -5 0 5 10 Favours (control) Favours (experimental)						

图 4 两组生存质量的 Meta 分析森林图

Fig. 4 Forest plot of Meta-analysis in quality of life between two groups

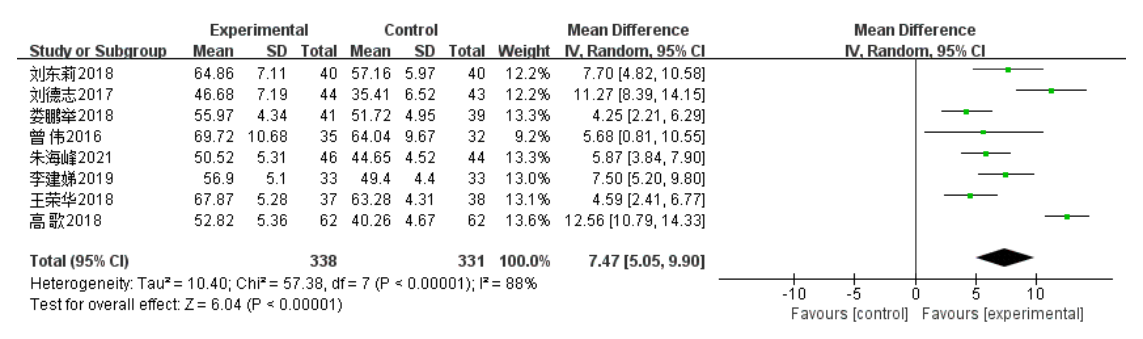


图 5 两组血液中 CD₃⁺的 Meta 分析森林图

Fig. 5 Forest plot of Meta-analysis in blood CD₃⁺ between two groups

	Expe	erimen	tal	C	ontrol			Mean Difference	Mean Difference
Study or Subgroup	Mean	SD	Total	Mean	SD	Total	Weight	IV, Random, 95% CI	IV, Random, 95% CI
刘东莉2018	32.95	4.68	40	25.66	4.85	40	8.4%	7.29 [5.20, 9.38]	_
刘德志2017	29.65	4.41	44	23.09	4.76	43	8.8%	6.56 [4.63, 8.49]	
吴仁瑞2019	33.01	3.52	43	29.65	3.49	43	9.9%	3.36 [1.88, 4.84]	_
娄鵬举2018	39.42	2.36	41	33.08	2.76	39	10.6%	6.34 [5.21, 7.47]	
曾伟2016	43.36	6.95	35	39.82	6.59	32	6.0%	3.54 [0.30, 6.78]	
曾汝园2021	33.08	2.65	71	30.29	2.18	70	11.2%	2.79 [1.99, 3.59]	-
朱海峰2021	32.17	3.25	46	27.41	2.53	44	10.5%	4.76 [3.56, 5.96]	
李建娣2019	37.7	7.7	33	31.7	7.3	33	5.3%	6.00 [2.38, 9.62]	
王荣华2018	39.66	4.19	37	35.81	3.26	38	9.4%	3.85 [2.15, 5.55]	 -
秦勤2021	33.18	3.42	29	29.63	3.51	29	9.2%	3.55 [1.77, 5.33]	
高歌2018	34.64	3.23	62	27.79	2.93	62	10.7%	6.85 [5.76, 7.94]	-
Total (95% CI)			481			473	100.0%	4.96 [3.84, 6.09]	•
Heterogeneity: Tau ² :	= 2.76; C	hi² = 61	1.23. dt	f= 10 (P	< 0.00	0001): I	² = 84%		<u> </u>
Test for overall effect						-71			-4 -2 0 2 4
		,							Favours (control) Favours (experimental)

图 6 两组血液中 CD₄⁺的 Meta 分析森林图

Fig. 6 Forest plot of Meta-analysis in blood CD₄⁺ between two groups

	Experimental Contr				ontrol			Mean Difference	Mean Difference			
Study or Subgroup	Mean	SD	Total	Mean	SD	Total	Weight	IV, Random, 95% CI	IV, Random, 95% CI			
刘东莉2018	64.86	7.11	40	57.16	5.97	40	12.2%	7.70 [4.82, 10.58]	_ -			
刘德志2017	46.68	7.19	44	35.41	6.52	43	12.2%	11.27 [8.39, 14.15]				
娄鵬举2018	55.97	4.34	41	51.72	4.95	39	13.3%	4.25 [2.21, 6.29]				
曾伟2016	69.72	10.68	35	64.04	9.67	32	9.2%	5.68 [0.81, 10.55]				
朱海峰2021	50.52	5.31	46	44.65	4.52	44	13.3%	5.87 [3.84, 7.90]				
李建娣2019	56.9	5.1	33	49.4	4.4	33	13.0%	7.50 [5.20, 9.80]				
王荣华2018	67.87	5.28	37	63.28	4.31	38	13.1%	4.59 [2.41, 6.77]				
高歌2018	52.82	5.36	62	40.26	4.67	62	13.6%	12.56 [10.79, 14.33]				
Total (95% CI)			338			331	100.0%	7.47 [5.05, 9.90]	•			
Heterogeneity: Tau ² =	= 10.40; (Chi² = 5	7.38, dt									
Test for overall effect	Z = 6.04	(P < 0.	00001)	-10 -5 0 5 10 Favours [control] Favours [experimental]								

图 7 两组血液中 CD₈⁺的 Meta 分析森林图

Fig. 7 Forest plot of Meta-analysis in blood ${\rm CD_8}^+$ between two groups

	Ехре	erimen	tal	C	ontrol			Mean Difference	Mean Difference
Study or Subgroup	Mean	SD	Total	Mean	SD	Total	Weight	IV, Random, 95% CI	IV, Random, 95% CI
刘东莉2018	1.17	0.29	40	0.93	0.26	40	11.1%	0.24 [0.12, 0.36]	
刘德志2017	1.21	0.32	44	1.03	0.26	43	11.0%	0.18 [0.06, 0.30]	
吴仁瑞2019	1.65	0.51	43	1.28	0.46	43	8.1%	0.37 [0.16, 0.58]	
娄鵬举2018	1.45	0.25	41	1.12	0.16	39	12.0%	0.33 [0.24, 0.42]	
曾 伟2016	2.09	0.68	35	1.78	0.53	32	5.8%	0.31 [0.02, 0.60]	
曾汝园2021	1.32	0.19	71	1.21	0.17	70	12.9%	0.11 [0.05, 0.17]	
朱海峰2021	1.17	0.21	46	0.81	0.15	44	12.5%	0.36 [0.28, 0.44]	
李建娣2019	1.89	0.41	33	1.18	0.38	33	8.6%	0.71 [0.52, 0.90]	→
王荣华2018	1.51	0.95	37	1.06	0.6	38	4.4%	0.45 [0.09, 0.81]	
高歌2018	1.36	0.04	62	1.23	0.03	62	13.6%	0.13 [0.12, 0.14]	•
Total (95% CI)			452			444	100.0%	0.29 [0.20, 0.38]	•
Heterogeneity: Tau ² =	= 0.02; C	hi² = 9:	8.97, df	= 9 (P ·	< 0.000	001); l²	= 91%		15 15 15
Test for overall effect	Z= 6.24	! (P < 0	0.00001)					-0.5 -0.25 0 0.25 0.5 Favours [control] Favours [experimental]

图 8 两组血液中 CD₄⁺/CD₈⁺变化的 Meta 分析森林图

Fig. 8 Forest plot of Meta-analysis in blood CD4⁺/CD8⁺changes between two groups

膜损伤的不良反应,共涉及224例患者。

(1)口干:各研究的异质性较低(P=0.81、I=0.81

0),因此使用固定效应模型进行 Meta 分析,见图 9。 结果显示试验组的口干患者数量低于对照组,两组



图 9 两组口干的 Meta 分析森林图

Fig. 9 Forest plot of Meta-analysis in dry mouth response between two groups

比较有统计学意义[RR=0.51,95%CI(0.28,0.95),P=0.02]。

- (2)皮炎损伤:各研究无统计学异质性(P= 0.71、I°=0),因此使用固定效应模型进行 Meta 分析,见图 10。结果显示试验组的皮炎损伤低于对照组,有统计学意义 [RR=0.38,95%CI=(0.19,0.76),P=0.006]。
- (3)黏膜损伤:各研究无统计学异质性(P= 0.81、P=0),因此使用固定效应模型进行 Meta 分析,见图11。结果显示试验组的黏膜损伤高于对照组,有统计学意义[RR=0.44,95%CI=(0.22,0.87),P=0.002]。

2.5 发表偏倚分析

根据所纳入患者的有效率绘制漏斗图,见图 12。由图12可见散点分布95%CI内的中部,且左右 两侧不对称,提示可能存在发表偏倚。

根据所纳入患者免疫指标CD』表达变化绘制

漏斗图,见图13。由图13可见散点分布95%CI内的中部,且左右两侧不对称,提示可能存在发表偏倚。

根据所纳入患者免疫指标 CD₄+/CD₈+绘制漏斗图,见图 14。由图 14 可见散点分布 95%CI 内的中部,且左右两侧不对称,提示可能存在发表偏倚。

3 讨论

3.1 本研究的临床意义和选题依据

据2021最新流行病学研究表明癌症仍然是威胁人类生命健康的第3大因素[31],目前以手术、放疗、化疗虽取得一定的治疗效果但是放疗、化疗后会导致局部或者是全身的不良反应(如发烧、感染、白细胞降低、贫血、食欲减退和黏膜损伤等不),严重降低了临床疗效,因此寻求更有效且安全的治疗方式迫在眉睫[32]。越来越多研究表明中医药辅助放化疗治疗癌症的新模式在提高有效率、降低不良反应等方面要优于单使用放化疗,产生了"1+1>



图 10 两组皮炎损伤的 Meta 分析森林图

Fig. 10 Forest plot of Meta-analysis in dermatitis injury between two groups

	Experim	ental	Contr	rol		Odds Ratio	Odds Ratio
Study or Subgroup	Events	Total	Events	Total	Weight	M-H, Fixed, 95% C	I M-H, Fixed, 95% CI
吴仁瑞2019	23	43	30	43	52.5%	0.50 [0.21, 1.21]	
林玉宗2018	5	40	10	40	32.9%	0.43 [0.13, 1.39]	
秦 勤2021	1	29	4	29	14.5%	0.22 [0.02, 2.13]	-
Total (95% CI)		112		112	100.0%	0.44 [0.22, 0.85]	•
Total events	29		44				
Heterogeneity: Chi2 =	0.43, df = 2	P = 0.8	81); I ² = 0)%			0.01 0.1 1 10 100
Test for overall effect:	Z = 2.43 (F	P = 0.02)				Favours [experimental] Favours [control]

图 11 两组患者黏膜损伤的 Meta 分析森林图

Fig. 11 Forest plot of Meta-analysis in mucosal injury between two groups

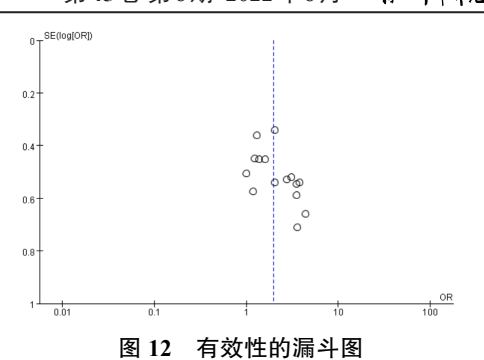


Fig. 12 Funnel plot of effective rate

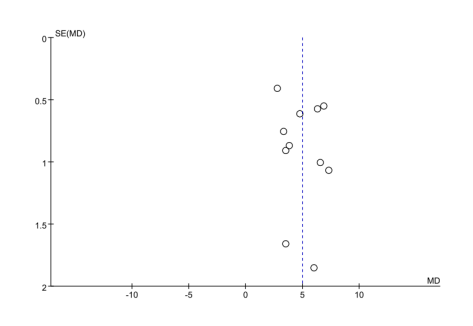


图 13 CD₄⁺表达变化漏斗图 Fig. 13 Funnel plot of CD₄⁺ expression changes

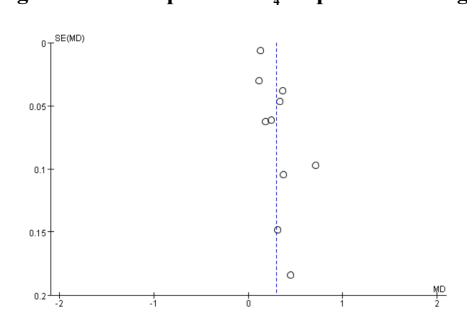


图 14 CD₄⁺/CD₈⁺表达变化漏斗图 Fig. 14 Funnel plot of CD₄⁺/CD₈⁺ expression changes

2"的效果。

中医药抗肿瘤具有多靶点、多层次、疗效优、不良反应低等优点,成为抗肿瘤药物的研究热点^[33]。中医理论认为肿瘤的发生、发展与人体正气密切相关,《内经》云:"正气存内,邪不可干,邪之所凑,其气必虚"。扶正祛邪已经成为中医药防治肿瘤的基本原则^[34]。通过扶助人体正气,调动自身抗癌能力,以达到祛除癌症之目的。如扶正增效方^[35]可以显著提高放疗治疗非小细胞肺癌的临床疗效,并且可以显著降低毒副反应;养阴益气颗粒^[36]可以增强放疗治疗鼻咽癌的疗效,减轻放疗带来的不良反应;黄芪桂枝五物汤^[37]可以显著增敏放疗对癌症的治疗效果。以上研究表明中药在协同放化疗治疗肿瘤时具有"增效""减毒"的作用^[38]。

近年来,中药注射液联合放化疗治疗癌症已有 大量的随机对照试验,其中以补益类中药注射液与 放化疗治疗癌症的研究较多,其中黄芪注射液效果 较好,但是缺乏各研究的直接或间接对比。黄芪具 有补中益气、益卫固表的功效,是使用频次非常高 的补益类抗肿瘤中药[39]。黄芪注射液是由中药黄 芪经水醇法制备的成药制剂,其主要成分是异黄酮 化合物(如芒柄花素、毛蕊异黄酮等)。现代药理研 究表明芒柄花素可以通过抑制信号转导和转录激 活因子3(STAT3)信号通路降低T细胞表面细胞程 序性死亡-配体1(PD-L1)受体的表达,进而促进T 细胞识别并杀伤肿瘤细胞[40]。毛蕊异黄酮可以直 接上调肿瘤细胞中Bax/Bcl-2的表达,促进肿瘤细胞 凋亡[41]。目前有较多的临床试验报道黄芪注射液 联合放化疗治疗癌症效果显著,可以有效降低放化 疗引起的毒副作用,能够提高患者的免疫功能。因 此本研究选取黄芪注射液作为研究对象,查阅相关 文献,运用循证医学的手段,弥补已经发表的系统 评价不足,为黄芪注射液的临床合理应用提供理论 依据。

3.2 本系统评价的结果分析

本研究的结果显示使用黄芪注射液在辅助癌症的放化疗治疗中能显著提高治疗有效率,提高患者血液中CD₃⁺、CD₄⁺、CD₈⁺等T细胞的比例。许多研究表明癌症患者体内免疫细胞的数量和功能与癌症预后密切相关,在临床治疗过程中常常以促进T细胞数量和活性为切入点治疗癌症。本系统评价虽然发现黄芪注射液在联合放化疗治疗癌症可以显著改善患者的免疫细胞数量,但是异质性较高,由于目前报道的临床研究中只是在试验的开始和结束时检测免疫细胞的数量变化,无法按照疗程进行亚组分析,因此未能分析造成异质性较高的原因,因此在以后的临床研究中应当按照疗程检测免疫细胞数量变化。

黄芪注射液在辅助放化疗治疗癌症可以改善由放化疗引起的口干、黏膜损伤、皮炎损伤等毒副作用等发生率,可显著提高患者生存质量及预后状况。

3.3 本研究的局限性和改进措施

本研究共纳入16项研究均为RCTs,共1340例临床患者,虽然较以往的系统评价有所改进,但是本研究仍存在5点不足。(1)纳入的临床试验中只有4项研究明确表示使用了随机数字分类法,其他研究只是提到"随机"、但未说明其方法,所有研究均未提及分配隐藏、双盲和结果研究的盲法,造成了所纳入文献质量不高。(2)所有RCTs均是在国内进

行的,没有报道其他国家使用黄芪注射液协同治疗放化疗治疗肿瘤的文献,纳入样本具有一定的种族差异,不具有全球普适性。(3)尽管共纳入16项RCTs,但每篇文献的患者人数较少,所报道的客观结局指标较少,未详述主观结局评分标准,造成结果具有一定的异质性,影响系统评价结果。(4)所纳入的研究虽然均为放化疗治疗肿瘤,但是放疗药物和化疗方式均不同,可能会存在一定异质性。(5)未用中医辨证论治的方法评价纳入的患者是否适合使用黄芪注射液,也是存在一定异质性的原因。今后需要多关注黄芪注射液的临床研究与基础研究,要全方位、多层次、多角度地系统阐释黄芪注射液在辅助化疗治疗癌症的物质基础和分子生物学机制。

以后的改进措施:(1)在临床试验中严格执行有关要求,在分组时严格执行随机数字法及分配隐藏、双盲和结果研究的盲法,提高文献质量。(2)在国外申请和开展临床试验,减少种族差异性。(3)建立主观评价的客观评价标准,减少异质性来源。(4)黄芪注射液的使用应限定为辨证属于中医"气血两虚"的癌症患者,在以后的临床研究中应当在辨证准确的基础上合理使用。

综上,黄芪注射液协同放化疗治疗肿瘤的疗效确切,与单纯使用放化疗药物相比在提高癌症治疗有效率、改善患者生存质量、提升免疫功能指标、降低不良反应等方面更优。但是受纳入研究的限制,其结论仍需要更多高质量、多中心、大样本的RCTs予以验证。

利益冲突 所有作者均声明不存在利益冲突

- [1] 世界卫生组织发布新版《癌症早期诊断指南》[J]. 上海 医药, 2017, 38(3): 15.
 - World health organization publishes new guidelines for early diagnosis of cancer [J]. Shanghai Med, 2017, 38 (3): 15.
- [2] 葛 瑶, 任 婷, 崔 鑫, 等. 新型多功能抗癌烷化剂研究进展 [J]. 化学试剂, 2018, 40(8): 707-713,720. Ge Y, Ren T, Cui X, et al. New multifunctional anticancer alkylating agent research progress [J]. J Chem Reag, 2018, 40(8): 707-713, 720.
- [3] Xu S Q, Zhu L Y, Hao C, et al. Synthesis and antitumor activity evaluation of a novel tegafur prodrug containing amino acid group [J]. J Chin Pharm Sci, 2021, 30(9): 743-753.
- [4] 王琳. 抗肿瘤抗生素药物制剂的研究进展 [J]. 海峡药学, 2020, 32(12): 94-97.

- Wang L. Research progress of antitumor antibiotic preparations [J]. Strait Pharm J, 2020, 32(12): 94-97.
- [5] 刘钦洲, 陈华龙, 刘晓兰, 等. 生物素标记的甾体化合物 探针的合成及抗肿瘤活性 [J]. 化学研究与应用, 2021, 33(10): 1896-1903.
 - Liu Q Z, Chen H L, Liu X L, et al. Synthesis and antitumor activity of biotin-labeled steroidal probe [J]. Chem Res Appl, 2021, 33(10): 1896-1903.
- [6] 李虎子, 赵路军. 近距离放疗调节抗肿瘤免疫效应的研究进展 [J]. 中国肿瘤临床, 2021, 48(17): 914-918. Li H Z Zhao L J. Research progress of brachytherapy for the regulation of anti-tumor immune effect [J]. Chin J Clin Oncol, 2021, 48(17): 914-918.
- [7] 付茂月, 雷开键, 贾钰铭, 等. 多西他赛联合顺铂治疗晚期肺腺癌患者的临床疗效及其对免疫功能的影响 [J]. 实用心脑肺血管病杂志, 2021, 29(8): 48-53.
 - Fu M Y, Lei K J, Jia Y M, et al. Clinical efficacy of docetaxel combined with cisplatin in the treatment of advanced lung adenocarcinoma [J]. J Pract Cardio-Cerebro-Pulm Vasc Dis, 2021, 29(8): 48-53.
- [8] 陈定芳, 吴月峰, 李海英, 等. 基于外泌体的精准信使靶向性和中医药超分子"气析"理论的中医药现代化实验研究思路与策略探索 [J]. 中国实验方剂学杂志, 2022, 28(7): 198-206.
 - Chen D F, Wu Y F, Li H Y, et al. Research ideas and strategies of TCM modernization experiment based on exosome precise messenger targeting and TCM supramolecular "gas evolution" theory [J]. Chin J Exp Tradit Med Form, 2022, 28(7): 198-206.
- [9] 郭文晖, 齐卓操, 关汉卿, 等. 黄芪-莪术配伍联合 5-氟 尿嘧啶对 CT26.WT 结肠癌原位移植瘤模型小鼠中 Th17/Treg 平衡及肿瘤相关 mRNA 和蛋白表达的影响 [J]. 中国中药杂志, 2022, 47(1): 167-175.
 - Guo W H, Qi Z C, Guan H Q, et al. Effects of astragalus zedoary combined with 5-fluorouracil on Th17/Treg balance and tumor-related mRNA and protein expression in CT26. WT colon cancer orthotopic transplanted tumor model mice [J]. China J Chin Mater Med, 2022, 47(1): 167-175.
- [10] 王 雪, 凌佳音, 翟勇聪, 等. 白花蛇舌草总黄酮对 MFC 胃癌荷瘤小鼠血清肿瘤标志物和免疫功能的影响 [J]. 中国临床药理学杂志, 2021, 37(19): 2627-2630.
 - Wang X, Ling J Y, Zhai Y C, et al. Effects of total flavonoids of *Hedyotis diffusa* on serum tumor markers and immune function in MFC gastric cancer bearing mice [J]. Chin J Clin Pharmacol, 2021, 37(19): 2627-2630.
- [11] 胡宴彬,魏瑞波,代甜甜,等.基于网络药理学和分子对接技术探讨"半枝莲-山慈菇"抗乳腺癌的作用机制[J].现代药物与临床,2021,36(9):1774-1781.
 - Hu B B, Wei R B, Dai T T, et al. Study on the anti-breast cancer mechanism of "Banzhilian-Shanci Mushroom" based on network pharmacology and molecular

- connection technology [J]. Drugs Clin, 2021, 36(9): 1774-1781.
- [12] 张文山, 左东明, 何淑兵, 等. 黄芪注射液联合丹参注射液治疗进展期胃癌临床研究 [J]. 河北中医, 2020, 42 (8): 1175-1178, 1182.
 - Zhang W S, Zuo D M, He S B, et al. Clinical study of Astragalus Injection combined with *Salvia miltiorrhiza* Injection in treatment of advanced gastric cancer [J]. Hebei Tradit Chin Med, 2020, 42(8): 1175-1178, 1182.
- [13] 于 泓, 胡 青, 孙健, 等. 基于超高效液相色谱-四极杆-飞行时间质谱技 术的黄芪注射液中化学成分分析 [J]. 世界中医药, 2019, 14(4): 809-817.
 - Yu H, Hu Q, Sun J, et al. Analysis of chemical constituents in Astragalus injection by ultra-performance liquid chromatography-quadrupole time-of-flight mass spectrometry [J]. World Chin Med, 2019, 14(4): 809-817.
- [14] Higgins J P T, Altman D G, Sterne, et al. *Cochrane Handbook for Systematic Reviews of Interventions, Version 5.1.0* [M/OL] (2011-03) [2021-03-01]. www. cochrane-handbook.org.
- [15] 刘东莉, 高芳芳, 王明明, 等. 黄芪多糖注射液联合吉非 替尼治疗晚期肺癌疗效及对免疫功能、生活质量和毒 副反应的影响 [J]. 现代中西医结合杂志, 2018, 27(36): 4049-4051.
 - Liu D L, Gao F F, Wang M M, et al. Effect of Astragalus Polysaccharide Injection combined with gefitinib on immune function, quality of life, toxicity and side effects of advanced lung cancer [J]. J Mod Integr Chin West Med, 2018, 27(36): 4049-4051.
- [16] 王荣华, 马良赟, 廖泽飞, 等. 黄芪注射液对中晚期 NSCLC患者化疗后骨髓系统和肿瘤标志物的影响 [J]. 世界中医药, 2018, 13(11): 2795-2799.
 - Wang R H, Ma L Y, Liao Z F, et al. Effects of Astragalus Injection on bone marrow system and tumor markers in patients with advanced NSCLC after chemotherapy [J]. World Chin Med, 2018, 13(11): 2795-2799.
- [17] 李建娣, 俞维英. 黄芪注射液辅助治疗对卵巢癌患者的治疗效果及对患者生活质量、炎症因子、T淋巴细胞的影响 [J]. 新中医, 2019, 51(8): 194-196.
 - Li J D, Yu W Y. Effect of Astragalus Injection adjuvant therapy on quality of life, inflammatory factors and T lymphocyte in patients with ovarian cancer [J]. New Tradit Chin Med, 2019, 51(8): 194-196.
- [18] 娄鹏举,梁平,刘明峰.黄芪注射液辅助治疗晚期结直 肠癌的效果观察 [J]. 深圳中西医结合杂志, 2018, 28 (7): 28-29.
 - Lou P J, Liang P, Liu M F. *Astragalus membranaceus* Injection auxiliary observed the effect of the treatment of advanced colorectal cancer [J]. Shenzhen J Integr Tradit Chin West Med, 2018, 28(7): 28-29.
- [19] 郝珊瑚, 纪立秋, 王治国, 等. 黄芪注射液联合 ¹³ I 核素 治疗分化型甲状腺癌临床研究 [J]. 西部中医药, 2020,

- 33(3): 97-100.
- Hao S H, Ji L Q, Wang Z G, et al. Clinical study of Astragalus Injection combined with ¹³¹I nuclide in the treatment of differentiated thyroid carcinoma [J]. West Chin Med, 2020, 33(3): 97-100.
- [20] 朱保江. 黄芪注射液联合 MVP 方案治疗晚期非小细胞肺癌临床观察 [J]. 中国医药指南, 2010, 8(2): 73-74.
 - Zhu B J. Clinical observation of Astragalus Injection combined with MVP regimen in the treatment of advanced non-small cell lung cancer [J]. Chin Med Guid, 2010, 8(2): 73-74.
- [21] 李福春,曹 辉.黄芪注射液联合化疗治疗晚期非小细胞肺癌[J].中国煤炭工业医学杂志,2007(6):652.
 - Li F C, Cao H. Astragalus Injection combined with chemotherapy in the treatment of advanced non-small cell lung cancer [J]. China Coal Indus Med J, 2007 (6): 652.
- [22] 钟芳红. 黄芪注射液联合化疗治疗晚期非小细胞肺癌 的近期疗效观察 [J]. 陕西中医学院学报, 2011, 34(4): 51-52.
 - Zhong F H. Effect of Astragalus Injection combined with chemotherapy on advanced non-small cell lung cancer [J]. J Shaanxi Coll Tradit Chin Med, 2011, 34(4): 51-52.
- [23] 曾汝园. 黄芪注射液联合紫杉醇、顺铂化疗方案对中晚期宫颈癌患者化疗疗效及血清肿瘤因子的影响 [J]. 按摩与康复医学, 2021, 12(23): 46-47, 51.
 - Zeng R Y. Effects of Astragalus Injection combined with paclitaxel and cisplatin on chemotherapy efficacy and serum tumor factors in patients with advanced cervical cancer [J]. Mass Rehabil Med, 2021, 12(23): 46-47, 51.
- [24] 朱海峰. 黄芪注射液联合紫杉醇质脂体对中晚期乳腺癌患者TFF1、免疫功能的影响[J]. 现代中西医结合杂志, 2021, 30(18): 2007-2009.
 - Zhu H F. Effects of Astragalus Injection combined with paclitaxel lipid body on TFF1 and immune function in patients with advanced breast cancer [J]. J Mod Integr Chin West Med, 2021, 30(18): 2007-2009.
- [25] 刘德志, 蓝朝廷. 黄芪注射液在老年肺癌患者辅助化疗中的作用 [J]. 中国初级卫生保健, 2017, 31(7): 76-77. Liu D Z, Lan C T. Effect of astragalus injection on adjuvant chemotherapy in elderly patients with lung cancer [J]. China Prim Health Care, 2017, 31(7): 76-77.
- [26] 高 歌. 黄芪注射液治疗子宫内膜肿瘤临床疗效及对患者肿瘤标志物血清 CA125、HE4 影响的研究 [J]. 陕西中医, 2018, 39(6): 762-765.
 - Gao G. Effect of Astragalus Injection on serum CA125 and HE4 in patients with endometrial tumor [J]. Shaanxi Tradit Chin Med, 2018, 39(6): 762-765.
- [27] 林玉宗. 适形调强放射治疗联合黄芪多糖注射液对头颈部肿瘤的效果 [J]. 实用中西医结合临床, 2018, 18 (4): 159-160, 183.
 - Lin Y Z. Effect of conformal intensity modulated

- radiotherapy combined with Astragalus Polysaccharide Injection on head and neck tumor [J]. Pract Clin Appl Integr Tradit Chin West Med, 2018, 18(4): 159-160, 1833.
- [28] 秦 勤. 替吉奥联合黄芪多糖注射液对头颈部肿瘤放疗 的增效作用 [J]. 医学理论与实践, 2021, 34(14): 2449-2451.
 - Qin Q. For joint gonow Astragalus Polysaccharide Injection on the effect of radiotherapy for head and neck cancer [J]. J Med Theor Pract, 2021, 34(14): 2449-2451.
- [29] 吴仁瑞, 钟 琼, 汪 琛. 替吉奥与黄芪多糖注射液联合用于头颈部肿瘤放疗的增效作用 [J]. 河北医学, 2019, 25(6): 1023-1027.
 - Wu R R, Zhong Q, Wang C. Synergistic effect of tegio combined with Astragalus Polysaccharide Injection in radiotherapy of head and neck tumor [J]. Hebei Med, 2019, 25(6): 1023-1027.
- [30] 曾 伟, 方和敬. 穴位注射黄芪注射液对 XELOX 方案化 疗胃癌患者免疫功能的影响 [J]. 中国中医药科技, 2016, 23(6): 643-645.
 - Zeng W, Fang H J. Effects of acupoint injection of Astragalus Injection on immune function of XELOX chemotherapy in patients with gastric cancer [J]. Chin J Tradit Med Sci Technol, 2016, 23(6): 643-645.
- [31] 沈秋明, 项永兵. 膳食抗氧化物与常见恶性肿瘤的流行 病学研究进展 [J]. 上海预防医学, 2021, 33(10): 917-922, 934.
 - Shen Q M, Xiang Y B. Dietary antioxidants and epidemiological research progress of common malignant tumors [J]. J Prevent Med Shanghai, 2021, 33(10): 917-922, 934.
- [32] 胡 阳,王海宁,林云凤,等.氢吗啡酮联合鞘内输注系统治疗难治性癌痛的临床观察[J].中国疼痛医学杂志,2021,27(10):789-792.
 - Hu Y, Wang H N, Lin Y F, et al. Clinical observation of hydromorphone combined with intrathecal infusion system in the treatment of refractory cancer pain [J]. Chin J Pain Med, 2021, 27(10): 789-792.
- [33] 黄 蓉, 张培彤, 李凤杰. 基于数据挖掘的中药汤剂联合 化疗治疗胰腺癌的用药规律分析 [J]. 世界科学技术: 中医药现代化, 2021, 23(10): 3719-3726.
 - Huang R, Zhang P T, Li F J. Chinese medicine decoction combined with chemotherapy in the treatment of pancreatic cancer based on data mining [J]. World Sci Technol: Mod Tradit Chin Med, 2021, 23(10): 3719-3726.
- [34] 李 杰, 雷晶晶, 牛文民, 等. "正气存内,邪不可干"新解[J]. 临床医学研究与实践, 2021, 6(10): 118-119, 159. Li J, Lei J J, Niu W M, et al. A new solution of "Healthy Qi is stored inside and evil cannot be done" [J]. Clin Med Res Pract, 2021, 6(10): 118-119, 159.
- [35] 马锦坤. 基于 S100A9与 CyPA 探讨扶正增效方对在肺

- 腺癌放射增敏作用的调控机制 [D]. 北京: 北京中医药大学, 2020.
- Ma J K. To explore the regulatory mechanism of Fuzheng Zengxiao Prescription on radiosensitization of lung adenocarcinoma based on S100A9 and CyPA [D]. Beijing: Beijing University of Chinese Medicine, 2020.
- [36] 关本岭, 鹿 玉, 车晓林, 等. 养阴益气颗粒对鼻咽癌的放射增敏作用 [J]. 山东中医杂志, 2019, 38(12): 1137-1140
 - Guan B L, Lu Y, Che X L, et al. Yangyin Yiqi Granules of nasopharyngeal carcinoma radiotherapy sensitization effect [J]. J Shandong Tradit Chin Med, 2019, 38(12): 1137-1140.
- [37] 胡竹元, 吕志燚, 傅健飞, 等. 黄芪桂枝五物汤对 AGC 化疗患者免疫功能、毒副反应的影响 [J/OL]. 中华中 医药学刊, 2021,(2021-10-11)[2021-12-01]. http://kns.cnki.net/kcms/detail/21.1546.R.20211011.0836.002.html. Hu Z Y, Lu Z Y, Fu J F, et al. Effect of Huangqi Guizhi Wuwu Decoction on immune function, toxicity and side effects of AGC chemotherapy [J]. Chin Arch Tradit Chin Med, 2021, (2021-10-11)[2021-12-01]. http://kns.cnki.net/kcms/detail/21.1546.R.20211011.0836.002.html.
- [38] 刘东颖,李艳阳,谢广茹.中药在肺癌放射增敏中的作用研究进展[J].中国现代医学杂志,2020,30(12):68-73.
 - Liu D Y, Li Y Y, Xie G G. Effect of traditional Chinese medicine on radiosensitization of lung cancer [J]. Chin J Mod Med, 2020, 30(12): 68-73.
- [39] 段海婧, 龙晓宙, 杜丽东, 等. 黄芪抗恶性肿瘤研究文献 计量学分析及作用机制概述 [J]. 中药药理与临床, 2021, doi:10.13412/j.cnki.zyyl.20210924.001.
 - Duan H J, Long X Z, Du L D, et al. Quantitative analysis and mechanism of *Astragalus membranaceus* against malignant tumor [J]. Pharmacol Clin Chin Mater Med, 2021, doi:10.13412/j.cnki.zyyl.20210924.001.
- [40] 牛永莉, 贾晓波, 王 艳. 芒柄花素调控 miR-19b-3p/ TGF-β/Smad2 信号通路影响卵巢癌细胞的增殖、迁 移、侵袭和凋亡 [J]. 沈阳药科大学学报, 2021, 38(10): 1068-1075.
 - Niu Y Y, Jia X B, Wang Y. Formonontin regulates the mir-19b-3p /TGF-β/Smad2 signaling pathway and affects the proliferation, migration, invasion and apoptosis of ovarian cancer cells [J]. J Shenyang Pharm Univ, 2021, 38 (10): 1068-1075.
- [41] 王雪振, 张小雨, 牟 悦, 等. 毛蕊异黄酮抗肿瘤作用及 机制的研究进展 [J]. 中国实验方剂学杂志, 2021, 27 (23): 210-217.
 - Wang X Z, Zhang X Y, Mou Y, et al. Calycosin separately antitumor function and mechanism research progress [J]. Chin J Exp Tradit Med Form, 2021, 27(23): 210-217.

[责任编辑 李红珠]